

## 洪水流の数値シミュレーションについて(第二報)

京都大学工学部 正員 岩佐義朗

" " " 井上和也

大阪かく K.K. " ○長尾貞夫

## 1 はじめに

前報においては、洪水流の波形全体を対象として Kinematic Waves の第2近似解を導くとともに、いわゆる intumescence の数値シミュレーションを Dynamic Waves として行ない、Kinematic Waves の適用性を検討しようとした。本報は、前報と異なり水位の変化がかなり大きい洪水流を上流端に与えた場合について、Dynamic Waves としての扱いと Kinematic Waves と比較し若干の検討を行なったものである。なお、簡単のために水路は広長方形断面の一様水路とし、従来は水深で近似されるとする。

## 2 基礎方程式の取り扱い

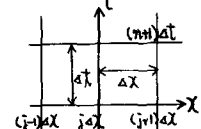
洪水流に一次元のエネルギー解析法が適用されるとして、その基礎式とつきの保存則と表れる関係にまとめると。

$$\frac{\partial U}{\partial t} + \frac{\partial H}{\partial x} = Q \quad (1)$$

ここで  $U = \begin{bmatrix} v \\ h \end{bmatrix}$ ,  $H = \begin{bmatrix} 0' \\ gH \end{bmatrix}$ ,  $Q = \begin{bmatrix} 0 \\ q_H \end{bmatrix}$ ,  $H = h + v^2/g$  (比エネルギー),  $Q'$ ; 単位幅流量である。 $H$  と  $U$  の関数とみたとき、 $\partial H_i / \partial U_j$  ( $i, j = 1, 2$ ) を成分とする行列  $\tilde{A} = \begin{bmatrix} v & h \\ q & v \end{bmatrix}$  が相異なる実数の固有値を有するとすると (1) 式は特性曲線による表示に改められ、これを固定格子上において差分化して解けばつきのようになる。<sup>2)</sup>

$$U_{j+1}^{n+1} = U_j^n - \frac{\Delta t}{2\Delta x} (\bar{H}_{j+1}^n - \bar{H}_j^n) + \frac{\Delta t}{4\Delta x} \left[ \frac{1}{2C_0} (\tilde{A} - V_0 E) \right]_j^n (\bar{H}_{j+1}^n - 2\bar{H}_j^n + \bar{H}_{j-1}^n) + Q_j^n \Delta t \quad (2)$$

ここで  $E$  は単位行列であり、 $\tilde{A}$  は上記とおりであるから、 $V_0 = V$ ,  $C_0 = \sqrt{gh}$  であり、特性曲線の方向は  $(dx/dt)_\pm = V \pm \sqrt{gh}$  である。



つきに前報で述べた Kinematic waves 理論にもとづく解を記す。

第1近似解  $h_1(x, t)$ ;

$$h_1(x, t) = f(t - x/w_1), \quad \left. \begin{array}{l} w_1 = \frac{5}{3} (\frac{1}{n} i^{\frac{1}{2}} h_1^{\frac{5}{3}}), \quad Q' = \frac{1}{n} i^{\frac{1}{2}} h_1^{\frac{5}{3}} \end{array} \right\} \quad (3)$$

ここに、 $f(t)$  は上流端  $x=0$  での水深変化を表わし、 $w_1$  は洪水の伝播速度である。

摂動法による第2近似解  $h_2(x, t)$ ;

$$h_2(x, t) = h_1 \left[ 1 + \frac{1}{\lambda S_0} \frac{9h_1^2}{10(2f_x - 3w_1 h_1)} \left\{ f(3 - \frac{14}{25} \frac{w_1^2}{gh_1}) \log \left| 1 - \frac{2f_x}{3w_1 h_1} \right| - \left( 1 - \frac{14}{25} \frac{w_1^2}{gh_1} \right) (5f_x^2 - 3k_1 f_x) \frac{x}{2f_x x - 3w_1 h_1} \right\} \right] \quad (4)$$

ここで  $\lambda = h_1^*/(\sqrt{gh_1} T_k)$ ,  $h_1^*$ ; 水深のスケール,  $T_k$ ; 時間のスケールである。また伝播速度  $w_2$  は  $w_1$  に等しくとられる。

逐次近似法による第2近似解  $h'_2(x, t)$ ;

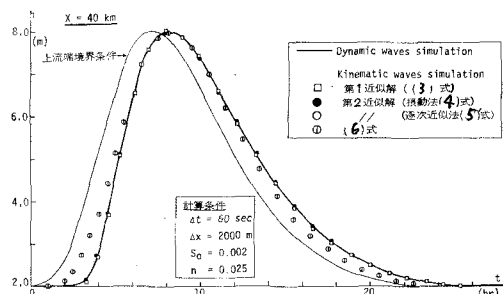


図.2

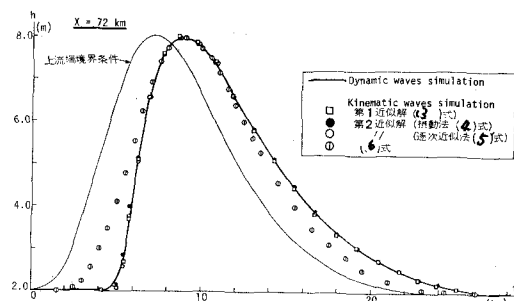


図.3

$$h_2'(x,t) = h_1 \cdot \exp \left[ \frac{3}{10} \lambda T_f \left\{ \left( 1 - \frac{4}{25} \frac{w_1^2}{g h} \right) \frac{(5f^2 - 3ff')}{h^2 w_1} (fx - 3w_1 f) x - \left( 1 - \frac{8}{25} \frac{w_1^2}{g f} \right) \frac{g f^2 x}{\sqrt{gh} w_1 (2fx - 3w_1 f)} \right\} \right] \quad (5)$$

またこの場合の伝播速度  $w_2$  は、 $w_2 = (\frac{5}{3}) \sqrt{n} \sqrt{h_2'}$  で与えられる。

拡散項を導入した Kinematic waves の解（速水<sup>3</sup>の解） $h(x,t)$ ：

$$h(x,t) = h_m + \frac{2}{\sqrt{\pi}} \exp \left( \frac{w_0 x}{2 \mu} \right) \int_{-\infty}^{\infty} \left\{ f(t - \frac{x^2}{4 \mu K^2}) - h_m \exp \left[ -K^2 - \frac{(w_0 x / 2 \mu)^2}{4 K^2} \right] \right\} dK \quad (6)$$

ここで  $h_m$  は平均水深に対応し、また後の計算では、 $f(t)$  の最大を  $h_p$  として、 $u_p = \frac{1}{n} \sqrt{h_p}$ 、 $w_0 = \frac{5}{3} u_p$ 、 $\mu = h_p u_p / 2$  とした。

### 3 数値シミュレーション

図2, 3の細実線のように初期水深  $h_0 = 2 m$ 、波頂での水深  $h_p = 8 m$ 、洪水継続時間24時間の洪水が上流端に与えた場合のシミュレーションを行なった。( $\Delta x = 2 km$ ,  $\Delta t = 60 sec$ )。この場合、Kinematic shock が最初に現われるのは  $x \approx 93 km$  であってこれより以降には Kinematic waves 理論の適用には修正を要する。図2は  $X = 40 km$  での  $h$ - $t$  曲線であり図3は  $X = 72 km$  のそれである。図2では Kinematic waves の第1近似解と第2近似解の差はきわめて小さく波頂のわずかな減衰を除けば、第1近似解で十分であることが知られる。また、(4)式、(5)式の差は僅少であるので示されていない。図3は流下距離の大きさ  $X = 72 km$  での  $h$ - $t$  曲線であるがこの場合第1近似解と第2近似解とでは水深の上昇期における差が見られる。この差は流下距離が大きい地盤では水面こう配がかなり大きくなつた結果である。すなわち Kinematic waves として取り扱い水面こう配が無限大にTなるのか Kinematic shock であるか、図3は Kinematic shock が現われる直前である。これが上のようないずれかの差にあらわれているものと見られる。また、水深のたしかり部分では  $dh/dt \approx 0$ 、 $dh^2/dt^2 > 0$  であって第2近似解では第1近似解よりも水深が大きくなる。さらに図に示される(6)式は伝播速度および拡散が波頂のそれにあわされていいるため波形全体として伝播が速く、また拡散の効果も Dynamic waves シミュレーションの結果に比して大きくなつているといふことからかかわれる。これは Dynamic waves シミュレーションでは Kinematic shock を発生させるような波形の急峻化の効果が含まれてゐるのに對し(6)式は波形を平滑化する拡散項のみが考慮されているからであって(6)式の限界を意味するものであろう。

文献 1) 高佐, 井上, 第18回水理講演会講演集, 1974.2, 2) 高佐, 井上, 伊丹, 昭和48年度土木学会年講 II, 1973.10.

3) Hayami, S. Bulletin of D.P.R.I., Kyoto Univ., No.1, 1951